

температура  $900^{\circ}\text{C}$  была достигнута в опытах с  $\text{V}_2\text{O}_5$ . Не было обнаружено каких-либо принципиальных изменений ВАХ при переходе через точку плавления. Заметим, что температура плавления  $\text{Sb}_2\text{O}_3$  —  $656^{\circ}\text{C}$ ,  $\text{V}_2\text{O}_5$  —  $450^{\circ}\text{C}$ .

Представляет особый интерес выяснение природы ЭП. Как и в случае халькогенидных стекол [1, 5, 6], можно предположить два существенно различных по природе механизма: электронный и тепловой. Экспериментально наблюдаемые ВАХ могут быть объяснены в рамках как первого, так и второго механизмов, поэтому необходимо знать дополнительные характеристики процесса. Как показано в [7], такими информативными характеристиками являются зависимости порогового поля переключения  $E_{п.п.}$  от расстояния и температуры.

Наблюдение ЭП в жидкой фазе открывает широкие возможности для измерения  $E_{п.п.}$  в функции расстояния, так как возможно создание устройства для непрерывного и, следовательно, плавного микроперемещения электродов в расплаве. С другой стороны, термодинамическая устойчивость стеклообразного состояния  $\text{V}_2\text{O}_5$  (отсутствие расстекловывания) обеспечивает достаточный интервал для температурных измерений  $E_{п.п.}$ . Следует заметить, что в целях предотвращения образования высших окислов измерения велись в атмосфере аргона.

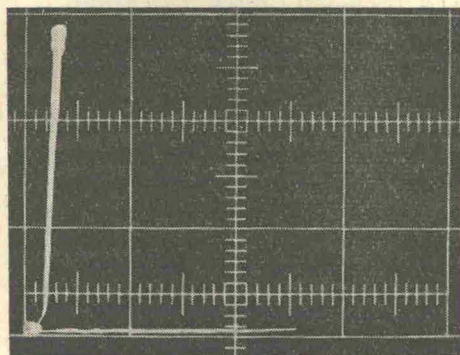


Рис. 1. Вольтамперная характеристика  $\text{V}_2\text{O}_5$  при  $T=180^{\circ}\text{C}$  (твердая фаза).

Цена деления  $E$  —  $1.3 \cdot 10^3$  в/см,  $I$  — 210 ма.

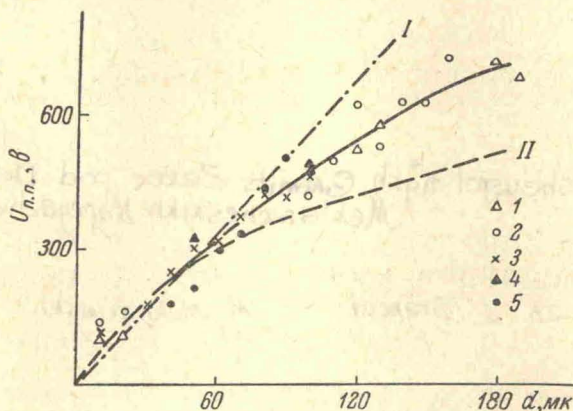


Рис. 2. Зависимость  $U_{п.п.}$  от расстояния между электродами для расплава  $\text{Sb}_2\text{O}_3$  при  $T=680^{\circ}\text{C}$ .

Для сравнения приведены теоретические кривые для электронного и теплового (по Фоку [8]) механизмов. Экспериментальные точки 1—5 — результаты независимых экспериментов.

$$I - U_{п.п.} \sim d, \quad II - U_{п.п.} \sim d^{0.5}.$$

Результаты измерения порогового напряжения переключения  $U_{п.п.}$  от расстояния между электродами  $d$  для расплава  $\text{Sb}_2\text{O}_3$  приведены на рис. 2. Из сопоставления экспериментальной и теоретической кривых для электронного и теплового механизмов, также приведенных на рис. 2, видно, что экспериментальная кривая при малых зазорах ( $d < 50$  мк) удовлетворительно аппроксимируется линейной зависимостью, характерной для электронного механизма. При больших зазорах ( $d > 100$  мк) наблю-

дается явное отклонение от линейной зависимости. Однако существенно, что экспериментальная кривая все же не согласуется с зависимостью  $U_{п.п.} \sim d^{0.5}$ , даваемой тепловой теорией Фока [8].

Аналитическая обработка показывает, что экспериментальная зависимость  $E_{п.п.}$  подчиняется закону  $E_{п.п.} \sim 1/d^{0.2}$ . Заметим, что для электронного механизма  $E_{п.п.} = \text{const} (d)$ , для теплового, по Фоку,  $E_{п.п.} \sim 1/d^{0.5}$ .

В связи с неоднозначностью выводов представляют ценность результаты температурных измерений  $E_{п.п.}$ . Температурные измерения показывают отсутствие зависимости  $E_{п.п.}(T)$  в твердой фазе и в жидком состоянии вблизи точки плавления. Однако при дальнейшем повышении температуры  $E_{п.п.}$  начинает падать. Отсутствие существенной температурной зависимости свойственно электронному механизму. Напротив, уменьшение  $E_{п.п.}$  с повышением температуры предсказывает тепловая теория.

На основании проведенных исследований представляется обоснованным вывод об электронном механизме переключения в окислах  $Sb_2O_3$ ,  $V_2O_5$  в твердом и жидком состояниях в непосредственной близости от точки плавления. При более высоких температурах преимущественным становится тепловой процесс. Следует подчеркнуть, что данный вывод относится к импульсному режиму измерений. При работе в режиме постоянного тока ситуация может быть существенно отличной. Можно ожидать проявления тепловых эффектов при значительно более низких температурах.

#### Л и т е р а т у р а

- [1] Б. Г. Коломиец, Э. А. Лебедев, И. А. Таксами. ФТП, 3, 731, 1969.
- [2] H. Fritzsche, S. R. Ovshinsky. J. Non-Cryst. Sol., 2, 393, 1970.
- [3] H. K. Henisch, E. A. Fagen, S. R. Ovshinsky. J. Non-Cryst. Sol., 4, 538, 1970.
- [4] A. E. van Arkel, E. A. Flood, N. F. H. Bright. Can. J. Chem., 31, 1109, 1953.
- [5] P. W. McMillan, P. Nesvadbá. J. Phys. D: Appl. Phys., 4, 1401, 1971.
- [6] H. K. Henisch, R. W. Pryor. Sol. St. Electronics, 14, 765, 1971.
- [7] Б. Т. Коломиец, Э. А. Лебедев, И. А. Таксами. ФТП, 3, 312, 1969.
- [8] В. А. Фок. Тр. ЛФТЛ, вып. 5, 52, 1928.

Физико-технический институт  
им. А. Ф. Иоффе АН СССР  
Ленинград

Поступило в Редакцию  
17 июля 1972 г.

Образование большеугольных границ зерен под действием  
механических напряжений

### ОБРАЗОВАНИЕ БОЛЬШЕУГОЛЬНЫХ ГРАНИЦ ЗЕРЕН ПОД ДЕЙСТВИЕМ МЕХАНИЧЕСКИХ НАПРЯЖЕНИЙ

Zh. I. Dranová I. M. Mikhailovskii  
Ж. И. Дранова и И. М. Михайловский

В [1] было показано, что формирование большеугольных границ зерен может рассматриваться как результат реакций между решеточными дислокациями под действием локальных напряжений. Для протекания реакций требуются напряжения, на порядок и более превышающие макроскопический предел текучести кристаллов. В деформированных материалах такие напряжения могут возникать, например, в местах пересечения скоплений дислокаций.

В субмикроструктурах, исследуемых автоионно-микроскопически, электрическое поле высокой напряженности создает механические напряжения, которые могут достигать в совершенных кристаллах теоретического предела прочности [2, 3]. В связи с этим представлялось интересным автоионно-микроскопически изучить изменения микроструктуры вольфрамовых образцов под действием высоких механических напряжений.

Образцы для исследования изготавливались из вольфрамовой проволоки чистотой 99.95% и имели исходный диаметр у вершины  $\sim 200$  А.